Modèles en Sciences de la Vie Chapitre 2 Modèles Mesure des fonctions des protéines

V. Garlatti virginie.garlatti@univ-tln.fr Bureau U 025

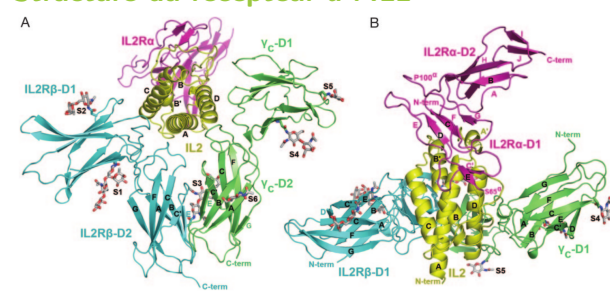
2023

Interactions protéines-ligands au coeur de la spécificité des processus du vivant

Reconnaître:

- ♦ un messager
- une PAMPs
- un antigène
- son substrat
- une molécule à transporter

Structure du récepteur à l'IL2



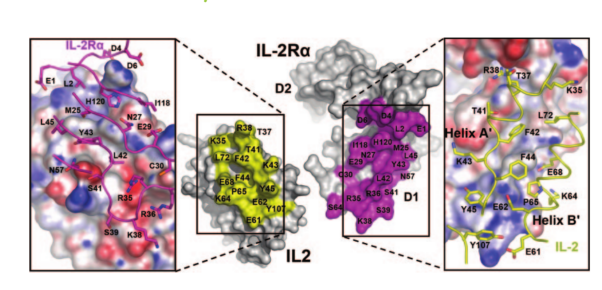
(STAUBER et al., 2006)

Interactions protéines-ligands au coeur de la spécificité des processus du vivant

Reconnaître:

- ♦ un messager
- une PAMPs
- un antigène
- son substrat
- une molécule à transporter

Interaction IL2/ILR2 α



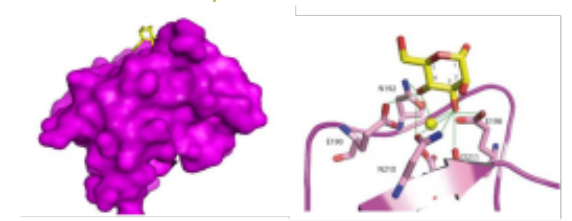
(STAUBER et al., 2006)

Interactions protéines-ligands au coeur de la spécificité des processus du vivant

Reconnaître:

- un messager
- une PAMPs
- un antigène
- son substrat
- une molécule à transporter

Interaction MBL/NacGlc

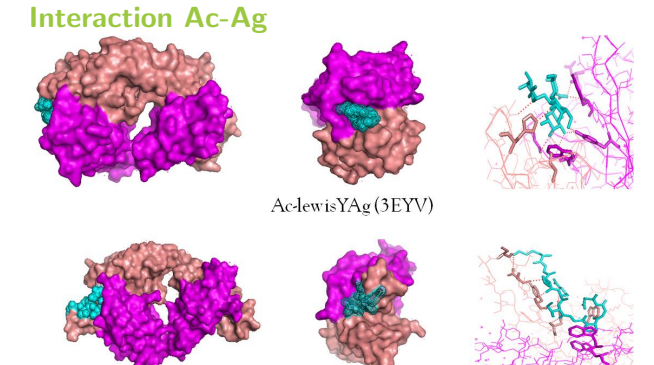


Interactions protéines-ligands au coeur de la spécificité des processus du vivant

Reconnaître:

- un messager
- ♦ une PAMPs

- un antigène
- ♦ son substrat
- une molécule à transporter



Ac-Peptide (HIV) (3GHB)

Burke et al., (2009) Structure 17: 1538-1546; Farruga et al. PLoS One. 2009 Nov 10; 4(11).

Interactions protéines-ligands au coeur de la spécificité des processus du vivant

Reconnaître:

- un messager
- ♦ une PAMPs
- un antigène

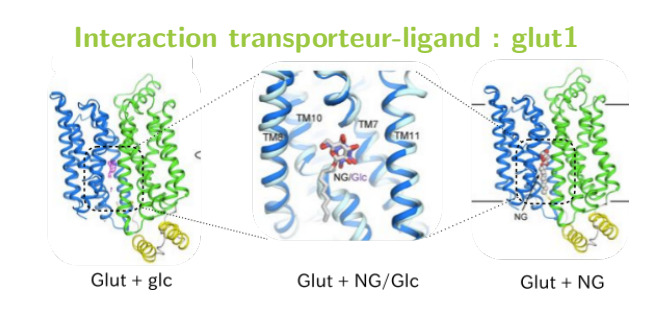
- son substrat
- une molécule à transporter

Interaction Enzyme-substrat: Trypsine Site actif aa catalyriques Site de reconnaissance Vue 2 State de reconnaissance Aa catalyriques

Interactions protéines-ligands au coeur de la spécificité des processus du vivant

Reconnaître:

- un messager
- ♦ une PAMPs
- un antigène
- ♦ son substrat



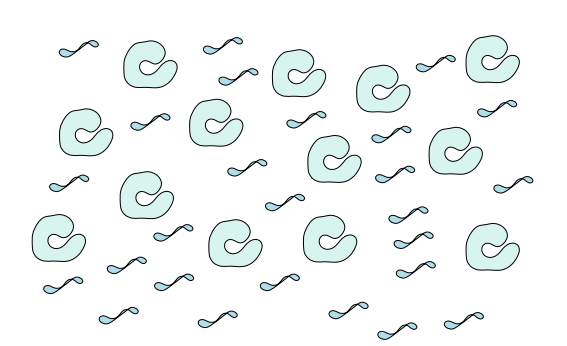
une molécule à transporter Interactions protéines-ligands au coeur de la spécificité des processus du vivant

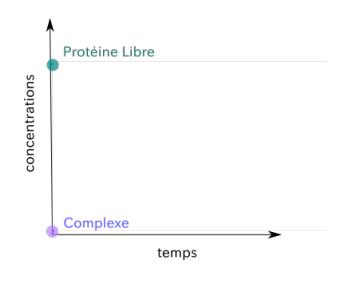
Objectif:

Apprendre à mesurer et à quantifier les interactions protéines ligands

Une interaction n'est jamais figée!

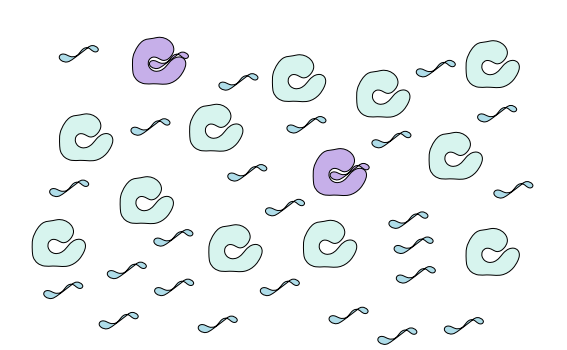
Démarrage de la réaction : t=0s

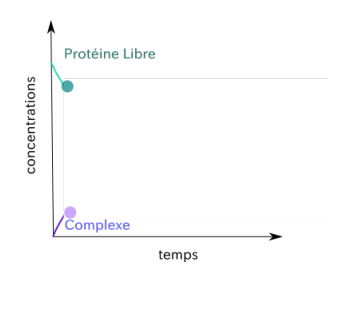




Une interaction n'est jamais figée!

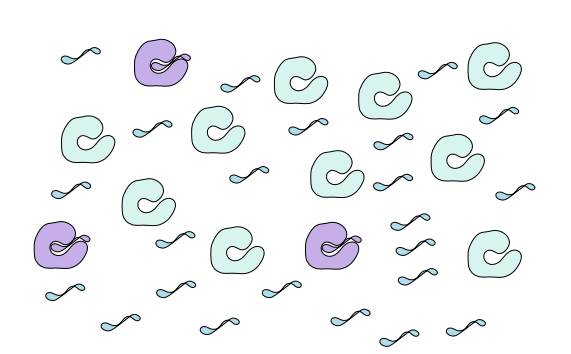
Réaction pré-équilibre

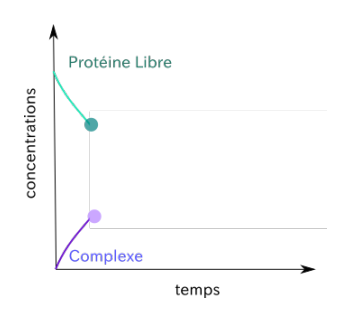




Une interaction n'est jamais figée!

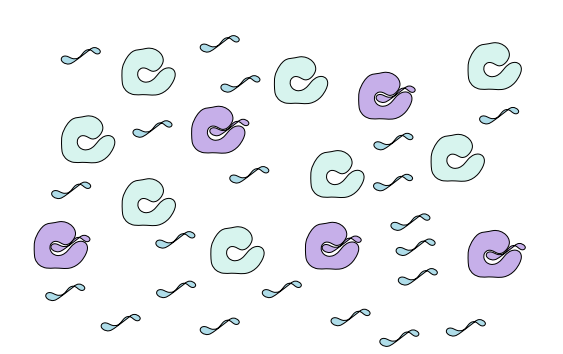
Réaction pré-équilibre

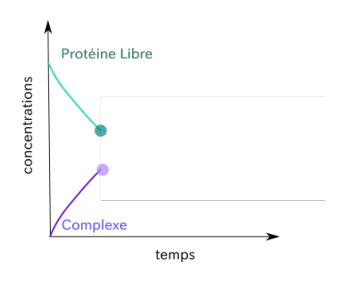




Une interaction n'est jamais figée!

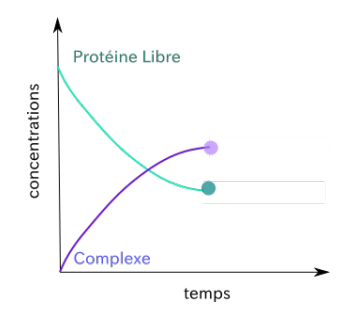
Réaction pré-équilibre



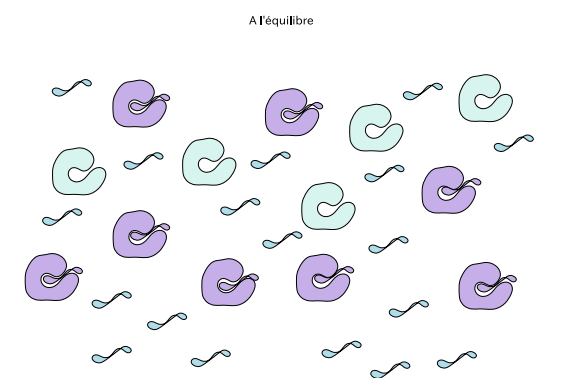


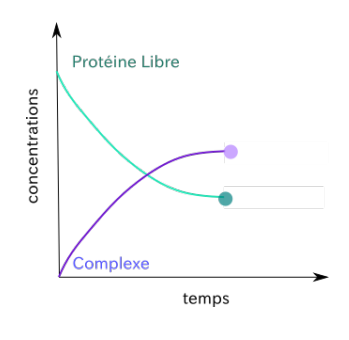
Une interaction n'est jamais figée!

A l'équilibre



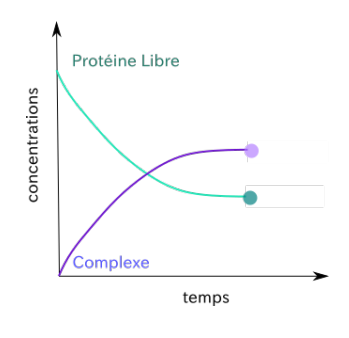
Une interaction n'est jamais figée!



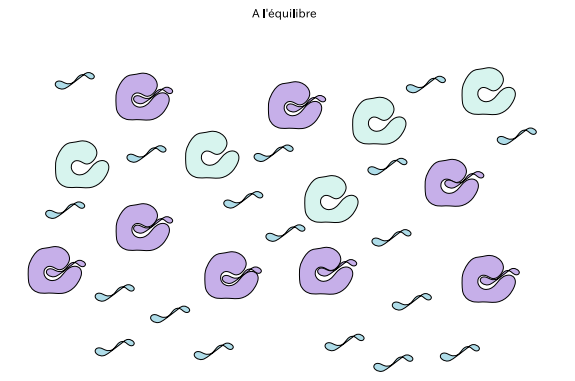


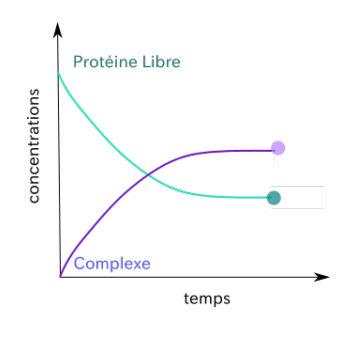
Une interaction n'est jamais figée!

A l'équilibre



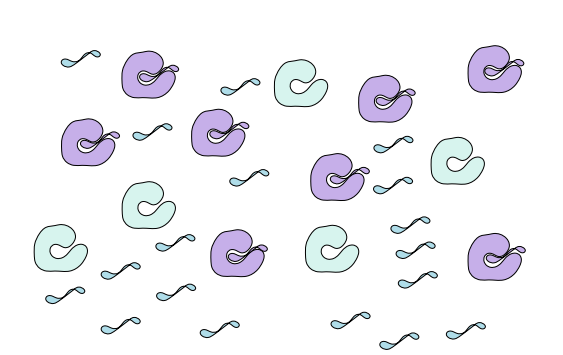
Une interaction n'est jamais figée!

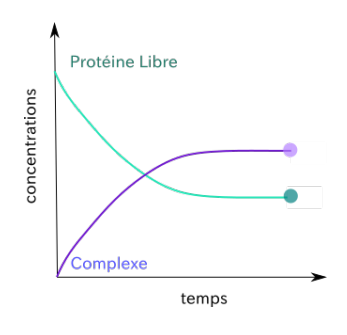




Une interaction n'est jamais figée!

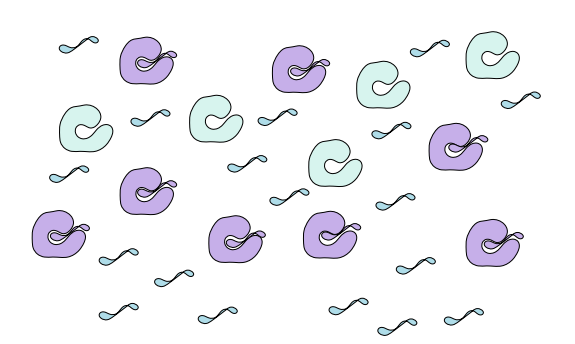
A l'équilibre

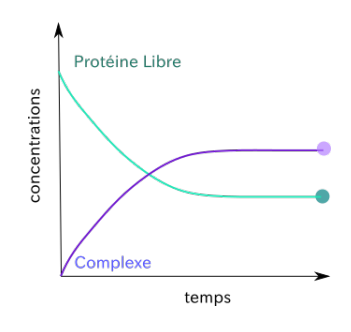




Une interaction n'est jamais figée!

A l'équilibre





Un seul site de fixation

$$P + L \stackrel{k_{on}}{\underset{k_{off}}{\rightleftarrows}} PL$$

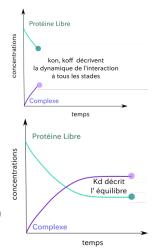
Un seul site de fixation

$$P + L \stackrel{k_{on}}{\rightleftharpoons} PL$$

Deux types de constantes :

- \Diamond Constantes de vitesse : k_{on} , k_{off}
- \Diamond Constante thermodynamique de dissociation \mathcal{K}_D

$$K_D = \frac{\prod_{k=1}^n P_k^{\infty}}{\prod_{k=1}^n R_k^{\infty}} \tag{1}$$



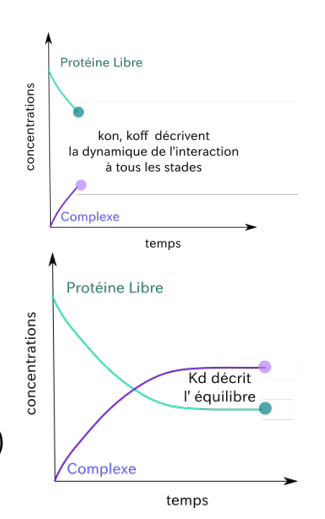
Plusieurs sites de fixation

$$P + L \underset{k_{off1}}{\overset{k_{on1}}{\rightleftharpoons}} PL + L \underset{k_{off2}}{\overset{k_{on2}}{\rightleftharpoons}} PL_2 + L \underset{k_{off3}}{\overset{k_{on3}}{\rightleftharpoons}} PL_3$$

Deux types de constantes :

- \Diamond Constantes de vitesse : k_{on} , k_{off}
- \Diamond Constante thermodynamique de dissociation \mathcal{K}_D

$$K_D = \frac{\prod_{k=1}^n P_k^{\infty}}{\prod_{k=1}^n R_k^{\infty}} \tag{1}$$



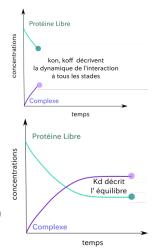
Un seul site de fixation

$$P + L \stackrel{k_{on}}{\rightleftharpoons} PL$$

Deux types de constantes :

- \Diamond Constantes de vitesse : k_{on} , k_{off}
- \Diamond Constante thermodynamique de dissociation \mathcal{K}_D

$$K_D = \frac{\prod_{k=1}^n P_k^{\infty}}{\prod_{k=1}^n R_k^{\infty}} \tag{1}$$

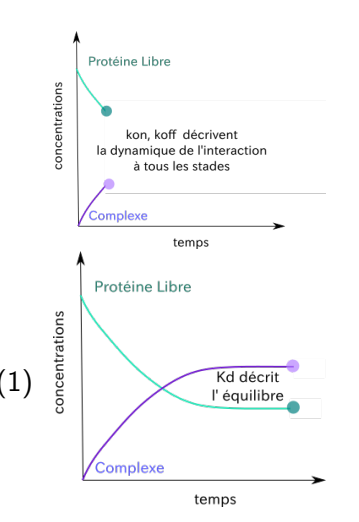


Un seul site de fixation

$$P + L \underset{k_{off}}{\overset{k_{on}}{\rightleftharpoons}} PL$$

Equation 1 site:

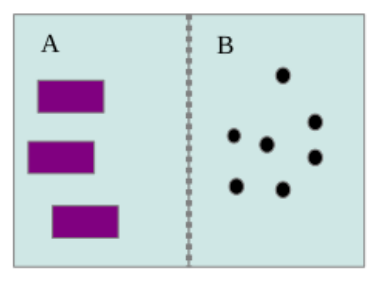
$$K_D = \frac{(P) * (L)}{(PL)} = \frac{k_{off}}{k_{on}}$$



Mesure à l'équilibre et obtention du K_D : la dialyse à l'équilibre

Expérience

- \Diamond à t= 0
- Membrane hémiperméable
- ♦ Deux compartiments
 - ♦ A : protéine
 - ♦ B : Ligand
- ♦ seul le ligand passe



Tps = 0h

Mesure à l'équilibre et obtention du K_D : la dialyse à l'équilibre

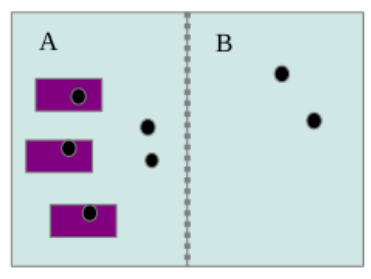
Expérience

 \Diamond à t= 0

♦ A l'équilibre :

♦ A : Lié + Libre

♦ B : Libre



Tps = equilibre

Mesure à l'équilibre et obtention du K_D : la dialyse à l'équilibre

Expérience

- \Diamond à t= 0
- ♦ A l'équilibre :
- ♦ A refaire pour une gamme de [L]

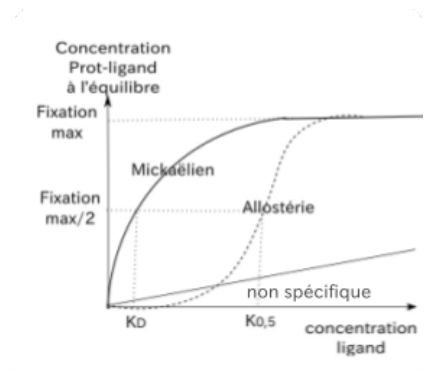
Mesure à l'équilibre et obtention du K_D : la dialyse à l'équilibre

Expérience

- \Diamond à t= 0
- ♦ A l'équilibre :
- ♦ A refaire pour une gamme de [L]

Résultats

- ♦ Ligand libre, ligand lié
- \Diamond Courbe (lié) = f(libre)
- ♦ Calcul K_D



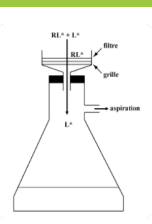
Mesure à l'équilibre et obtention du K_D : Filtration à l'équilibre

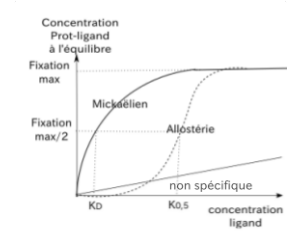
Expérience

- ♦ Réaction en présence ligand marqué
- ♦ A l'équilibre, filtration :
 - ♦ seul le ligand libre passe
 - ♦ le complexe reste sur le filtre
 - ♦ Mesure du marquage filtre et filtrat
- ♦ A refaire pour une gamme de [L]

Résultats

- Ligand libre, ligand lié
- \Diamond Courbe (lié) = f(libre)
- ♦ Calcul K_D

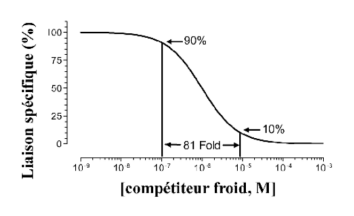




Mesure hors équilibre et obtention du k_{on} , k_{off} : **déplacement d'équilibre**

Expérience

- Réaction en présence ligand marqué
- ♦ A l'équilibre
 - ♦ Ajout d'un ligand froid
 - Nouvel équilibre
 - ♦ Mesure ligand marqué lié
- ♦ A refaire différentes [L] froid



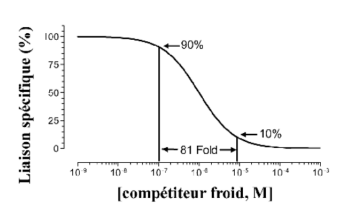
Mesure hors équilibre et obtention du k_{on} , k_{off} : **déplacement d'équilibre**

Expérience

- Réaction en présence ligand marqué
- ♦ A l'équilibre
 - ♦ Ajout d'un ligand froid
 - ♦ Nouvel équilibre
 - ♦ Mesure ligand marqué lié
- \Diamond A refaire différentes [L] froid

Résultat

- ♦ k_{off} k_{on}
- $\langle K_D, K_i \rangle$



Cheng et Prusoff en 1973

$$K_i = \frac{IC_{50}}{1 + \frac{(L)}{K_I}} \tag{2}$$

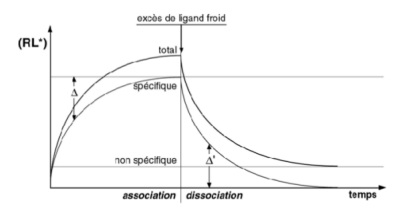
 $K_i = \text{comp\'etiteur froid}.$

 $K_D = \text{ligand radiomarqué (affinité)}.$

Mesure hors équilibre et obtention du k_{on} , k_{off} : Mesure cinétique association/dissociation par compétition

Expérience

- ♦ Ajout L radioactif
- ♦ Mesure cinétique de RL*
- Ajout ligand froid
- ♦ Mesure cinétique deL*



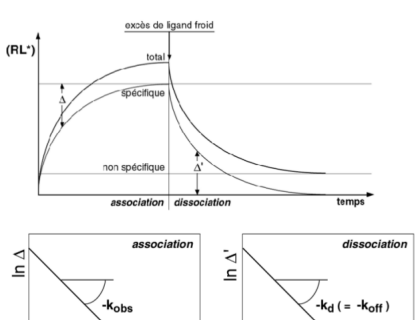
Mesure hors équilibre et obtention du k_{on} , k_{off} : Mesure cinétique association/dissociation par compétition

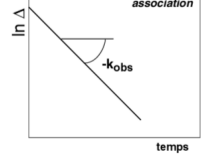
Expérience

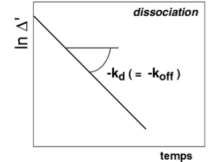
- ♦ Ajout L radioactif
- Mesure cinétique de RL*
- Ajout ligand froid
- Mesure cinétique deL*

Résultats

- $\langle k_{off} k_{on} \rangle$
- ♦ Kn.



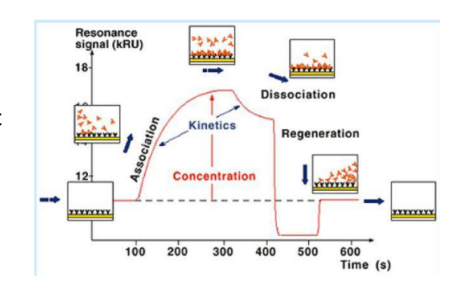




Mesure hors équilibre et obtention du k_{on} , k_{off} : Mesure cinétique association/dissociation par SPR

Expérience

- ♦ Fixation Prot sur puce
- ♦ Ajout d'un flux de tampon avec L
- ♦ Ajout de tampon sans L
- Mesure complexe en continu



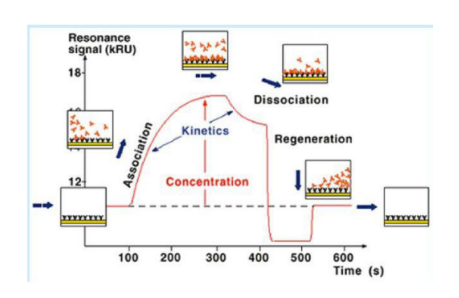
Mesure hors équilibre et obtention du k_{on} , k_{off} : Mesure cinétique association/dissociation par SPR

Expérience

- ♦ Fixation Prot sur puce
- ♦ Ajout d'un flux de tampon avec L
- ♦ Ajout de tampon sans L
- Mesure complexe en continu

Résultats

- $\langle \rangle k_{off} k_{on}$
- $\langle K_D,$



La démonstration mathématique

Réactions chimiques :

$$\begin{array}{c}
P \\
Proteine
\end{array}
+ \underset{Ligand}{L} \xrightarrow{k_{on}} \underset{k_{off}}{\longleftarrow} PL \\
Complexe$$
(3)

Constantes

$$k_{on} * [P] * [L] = k_{off} * [PL]$$
 (4)

$$\frac{k_{off}}{k_{on}} = \frac{[P] * [L]}{[PL]} = K_D = \frac{1}{K_a}$$
 (5)

Les équations obtenues dans des interactions non coopératives 1 site

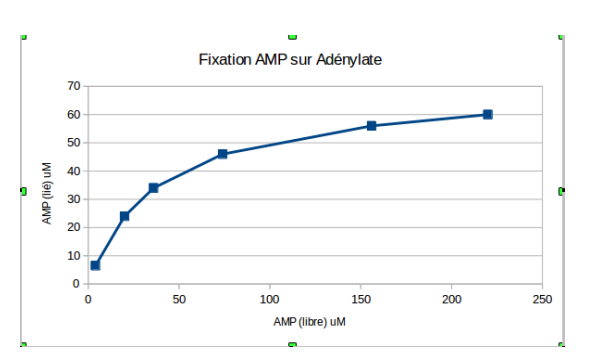
Démonstration mathématique en TD1

Exercice : la fixation de l'AMP sur l'adénylate kinase a été mesurée par dialyse à l'équilibre. Les résultats sont présentés ci-dessous :

$[AMP]_{lie} (\mu M)$						
$[AMP]_{libre} (\mu M)$	4	20	36	74	156	220

Tracez la courbe Lié = f(libre)

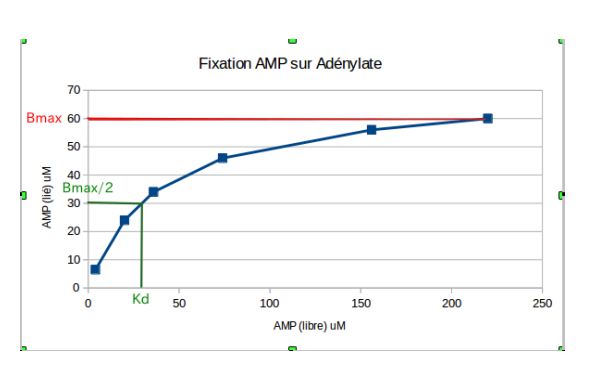
Exercice : la fixation de l'AMP sur l'adénylate kinase a été mesurée par dialyse à l'équilibre. Les résultats sont présentés ci-dessous :



Plateau = saturation = phénomène spécifique (présence d'un site)

Hyperbole : liaison non coopérative dite de type Mickaëlienne

Exercice : la fixation de l'AMP sur l'adénylate kinase a été mesurée par dialyse à l'équilibre. Les résultats sont présentés ci-dessous :



Mesure graphique des constantes :

Bmax, K_D

Peu précis

Définition : Fonction de saturation : rapport nombre moyen de sites occupés sur le nombre total de sites soit ici $\frac{B}{B_{max}} = \bar{Y}_s$.

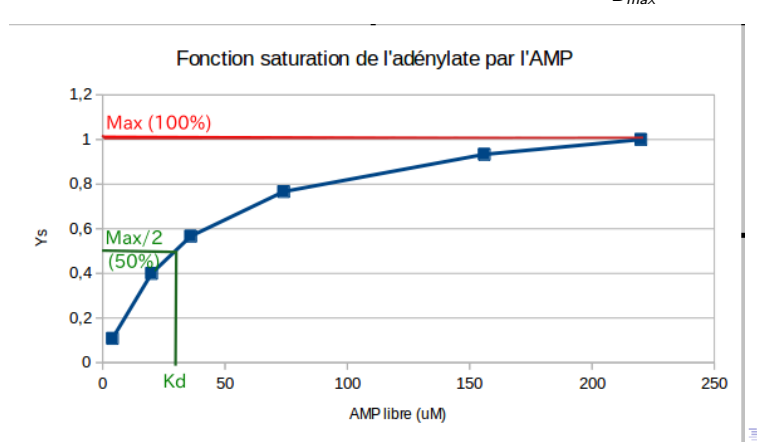
$[AMP]_{lie} (\mu M)$	6,5	24	34	46	56	60
$[AMP]_{libre} (\mu M)$	4	20	36	74	156	220

Calculer et tracer la courbe de saturation

Définition : Fonction de saturation : rapport nombre moyen de sites occupés sur le nombre total de sites soit ici $\frac{B}{B_{max}} = \bar{Y}_s$.

$ar{Y_S}$	0,1	0,4	0,56	0,76	0,93	1
$[AMP]_{libre} (\mu M)$	4	20	36	74	156	220

Définition : Fonction de saturation : rapport nombre moyen de sites occupés sur le nombre total de sites soit ici $\frac{B}{B_{max}} = \bar{Y}_s$.



Linéarisation grâce à la représentation de Scatchard $\frac{B}{F} = f(B)$.

$$\frac{[B]}{[L]} = \frac{B_{\text{max}}}{K_d} - \frac{1}{K_d} * [B] \tag{6}$$

$[AMP]_{lie} (\mu M)$	6,5	24	34	46	56	60
$[AMP]_{libre} (\mu M)$	4	20	36	74	156	220

Calculer et tracer la courbe en représentation de Scatchard

Linéarisation grâce à la représentation de Scatchard $\frac{B}{F} = f(B)$.

$$\frac{[B]}{[L]} = \frac{B_{\text{max}}}{K_d} - \frac{1}{K_d} * [B] \tag{7}$$

$[AMP]_{lie} (\mu M)$	6,5	24	34	46	56	60
$[AMP]_{lie}/[AMP]_{libre}$	1,6	1,2	0,94	0,6	0,36	0,27

Linéarisation grâce à la représentation de Scatchard $\frac{B}{F} = f(B)$.

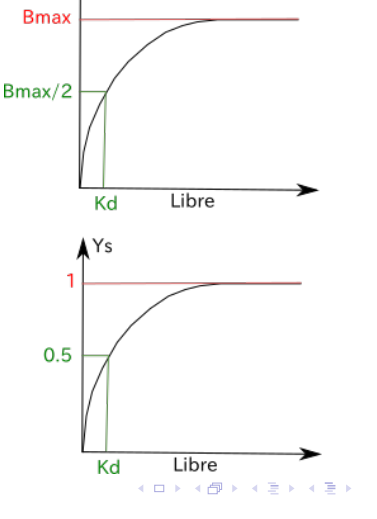
Calculez K_D à partir de l'équation de la droite.

Méthode

- \Diamond Courbe Lié = f(libre) hyperbole
- ♦ Fonction saturation : hyperbole

Ces courbes montrent :

- : fixation Mlckaëlienne (non coopérative)
- : peu précis pour les constantes



Lié

Méthode

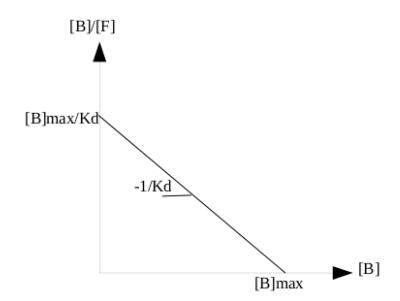
♦ Linérisation de Scatchard

$$\lozenge \ \frac{[B]}{[L]} = \frac{B_{max}}{K_d} - \frac{1}{K_d} * [B]$$

Cette droite montre :

: fixation Mickaelienne (non coopérative)

♦ : calcul précis des constante



Les interactions non coopératives n sites équivalents : les équations

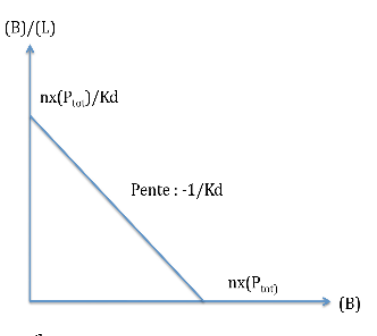
Expression de la fonction de saturation

$$\bar{Y}_{s} = \frac{concentration - ligand - lie}{concentration - totale - en - site} = \frac{[bound]}{B_{max}} = \frac{\sum\limits_{i=1}^{n} [PL_{i}]}{n*[P]_{tot}}$$

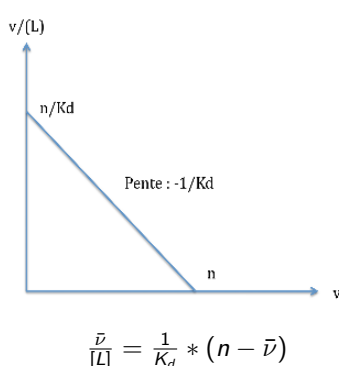
Expression du nombre moyen de sites occupés par molécule de protéine :

$$\bar{\nu} = \frac{\textit{concentration-ligand-lie}}{\textit{concentration-prot\'eine-tot}} = \frac{[\textit{bound}]}{P_{tot}} = \frac{\sum\limits_{i=1}^{n}[PL_i]}{[P]_{tot}} = \bar{Y_s}*n$$

Les interactions non coopératives n sites équivalents : traitement des données

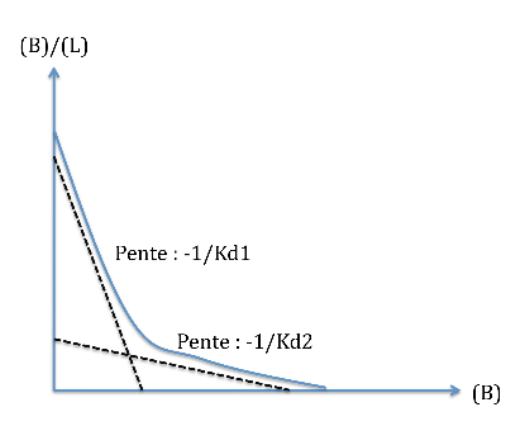


$$\frac{[bound]}{[L]} = \frac{1}{Kd} * (n * [P]_{tot} - [Bound])$$

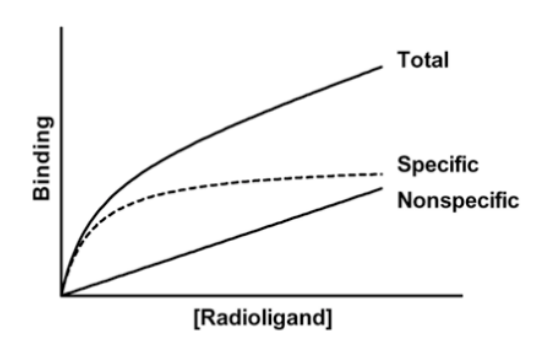


$$\frac{\bar{\nu}}{[L]} = \frac{1}{K_d} * (n - \bar{\nu})$$

Les interactions non coopératives n sites non équivalents n sites spécifiques avec des affinités différentes



Les interactions non coopératives n sites non équivalents Un site spécifique et un site de liaison non spécifique





STAUBER, Deborah J. et al. (2006). "Crystal structure of the IL-2 signaling complex: Paradigm for a heterotrimeric cytokine receptor". In: PNAS 103.8.